

Fast Multipole Method für Potentiale in 2D

Robert Hemstedt

Rheinische Friedrich Wilhelms-Universität Bonn – Bonn,

betreut durch die Herren Prof. Dr. Schweitzer und Prof. Dr. Klein

27. April 2014



This work is licensed under a Creative Commons Attribution-ShareAlike 3.0 Unported License.

- 1 Motivation
- 2 Klassischer Ansatz
- 3 Fast Multipole Method für Potentiale
- 4 FMM-Algorithmus

Beispiel

In der Ebene seien m paarweise verschiedene Punkte $\{x_1, \dots, x_m\}$ gegeben, die jeweils die Ladungen $\{q_1, \dots, q_m\}$ tragen. Zusätzlich seien n paarweise verschiedene Punkte $\{y_1, \dots, y_n\}$ in der Ebene gegeben, an denen die Potentiale $\Phi(y_i)$ ($i = 1, \dots, n$) berechnet werden sollen. Der Einfachheit halber gelte $x_i \neq y_j$ für alle $i = 1 \dots m, j = 1, \dots, n$.

Frage

In welcher Zeit können alle Potentiale an den ausgewählten Punkten berechnet werden?

Fakt

Potential: $\Phi_{x_i}(y_j) = -q_i \log(\|y_j - x_i\|)[1]$

Also ergeben sich für alle Potentiale an den Punkten $y_j, j = 1, \dots, n$:

$$\sum_{i=1}^m \Phi_{x_i}(y_j) \quad \text{für alle } j = 1, \dots, n$$

Also insgesamt $O(mn)$ Summationen für alle Potentiale. Insbesondere $O(m^2)$, wenn $m = n$.

Die Funktion $\Phi_{x_i}(y_j)$ bezeichnet man in manchen Fällen auch als *Kernel*[2]. Bezeichne:

$$G(\mathbf{y}, \mathbf{x}) := -\log(\|\mathbf{x} - \mathbf{y}\|) \text{ und } q(\mathbf{x}_i) := q_i, \text{ also } \Phi_{x_i}(\mathbf{y}_j) = G(\mathbf{y}_j, \mathbf{x}_i)q(\mathbf{x}_i)$$

Ein Trick der FMM ist es, das Problem in die Komplexe Ebene zu legen. Identifiziere:

$$\begin{aligned}\mathbf{x} &= (\mathbf{x}_1, \mathbf{x}_2) \quad \Rightarrow \quad z = \mathbf{x}_1 + i\mathbf{x}_2, \\ \mathbf{y} &= (\mathbf{y}_1, \mathbf{y}_2) \quad \Rightarrow \quad z_0 = \mathbf{y}_1 + i\mathbf{y}_2, \\ G(\mathbf{y}, \mathbf{x}) &= \Re(G(z_0, z)), \text{ mit } G(z_0, z) = -\log(z_0 - z),\end{aligned}$$

wobei wir hier den komplexen (Hauptzweig des) Logarithmus verwenden.

Expansion des G -Kernels

In dieser Notation berechnet man:

$$\sum_{i=1}^m G(y_j, x_i) q(x_i) \quad \text{für alle } i = 1, \dots, n,$$

und nimmt den *Realanteil*. Dabei sind die Punkte $(x_i)_{i=1,\dots,m}$, $(y_j)_{j=1,\dots,n}$ entsprechend in die Komplexe Ebene eingebettet.

Die Idee der Multipolexpansion ist es nun für einen Expansionspunkt y_c den Kernel zu schreiben als

$$G(y, x) = \sum_i G_i^y(y_c, y) G_i^x(y_c, x)$$

$G_i^x(y_c, x)$ ist *unabhängig* von y , kann also wiederverwendet werden!

Expansion des G -Kernels

Konvention

Ab sofort arbeiten wir nur noch in \mathbb{C} .

Lemma

Es seien der Quellpunkt z_0 , der Feldpunkt z und ein Expansionspunkt z_c nahe z gegeben, d.h. $|z - z_c| \ll |z_0 - z_c|$. Dann gilt:

$$G(z_0, z) = \sum_{k=0}^{\infty} O_k(z_0 - z_c) I_k(z - z_c). \quad (1)$$

Wobei

$$I_k(z) = \frac{z^k}{k!}, k \geq 0 \text{ sowie}$$
$$O_k(z) = \frac{(k-1)!}{z^k}, k \geq 1; \text{ und } O_0(z) = -\log(z).$$

Expansion des G -Kernels

Beweis.

$$G(z_0, z) = -\log(z_0 - z) = -\left[\log(z_0 - z_c) + \log\left(1 - \frac{z - z_c}{z_0 - z_c}\right)\right]$$

Taylor-Expansion von

$$\log(1 - \xi) = -\sum_{k=1}^{\infty} \frac{\xi^k}{k}, |\xi| < 1$$

liefert das gewünschte Ergebnis mit $\xi = \frac{z - z_c}{z_0 - z_c}$. □

Es ist einer der Schlüsselpunkte der FMM, dass durch Gleichung (1) im G -Kernel z_0 und z durch z_c separiert werden.

Multipolexpansion

Satz (Multipolexpansion)

Es seien die Punkte z_1, \dots, z_m mit Ladungen $q(z_1), \dots, q(z_m)$ gegeben. Weiterhin seien z_0 und z_c derart, dass $|z_i - z_c| \ll |z_0 - z_c|$ für alle $i = 1, \dots, m$. Dann gilt:

$$\sum_{i=1}^m G(z_0, z_i) q(z_i) = \sum_{i=1}^m \left[\sum_{k=0}^{\infty} O_k(z_0 - z_c) I_k(z_i - z_c) \right] q(z_i);$$

also die Multipolexpansion:

$$\sum_{i=1}^m G(z_0, z_i) q(z_i) = \sum_{k=0}^{\infty} O_k(z_0 - z_c) M_k(z_c), \quad (2)$$

mit den Momenten:

$$M_k(z_c) = \sum_{i=1}^m I_k(z_i - z_c) q(z_i). \quad (3)$$

Der Überlegung wert

Die Momente

$$M_k(z_c) = \sum_{i=1}^m l_k(z_i - z_c) q(z_i)$$

sind nur von den gegebenen Ladungspunkten z_1, \dots, z_m und dem Expansionspunkt z_c abhängig und brauchen nicht nochmal berechnet werden, wenn z_0 seine Lage ändert! Später werden die z_c Zentren von Zellen eines Gitters sein, sodass die Momente $M_k(z_c)$ häufig wiederverwendet werden können. Dies ist ein *Schlüsselfaktor*, warum die FMM so schnell ist!

Fehler der Multipolexpansion

In (2) tritt eine *unendliche* Summe auf. Fehler in der Fast Multipole Method können durch die Anzahl der ausgewerteten Terme in (2) kontrolliert werden.

Satz (Fehler der Multipolexpansion)

Für den Fehler E_M^p der Multipolexpansion gilt:

$$\begin{aligned} E_M^p &:= \left| \sum_{i=1}^m G(z_0, z_i) q(z_i) - \sum_{k=0}^p O_k(z_0 - z_c) M_k(z_c) \right| \\ &\leq \frac{A}{1 - \frac{R}{|z_0 - z_c|}} \frac{R^{p+1}}{|z_0 - z_c|^{p+1}}, \end{aligned}$$

wobei R der Radius eines Kreises um z_c mit $|z_i - z_c| < R < |z_0 - z_c|$ für alle $i = 1, \dots, m$ und $A = \sum_{i=1}^m |q_i|$.

Fehler der Multipolexpansion

Beweis.

$$\begin{aligned} E_M^p &:= \left| \sum_{k=p+1}^{\infty} O_k(z_0 - z_c) M_k(z_c) \right| \leq \sum_{k=p+1}^{\infty} |O_k(z_0 - z_c)| |M_k(z_c)| \\ &\leq \sum_{k=p+1}^{\infty} |O_k(z_0 - z_c)| \left| \sum_{i=1}^m l_k(z_i - z_c) q(z_i) \right| \\ &\leq \sum_{k=p+1}^{\infty} |O_k(z_0 - z_c)| \sum_{i=1}^m |l_k(z_i - z_c)| |q(z_i)| \\ &\leq A \sum_{k=p+1}^{\infty} |O_k(z_0 - z_c)| \frac{R^k}{k!} \leq A \sum_{k=p+1}^{\infty} \frac{(k-1)!}{|z_0 - z_c|^k} \frac{R^k}{k!} \\ &\leq A \sum_{k=p+1}^{\infty} \frac{R^k}{|z_0 - z_c|^k} = \frac{A}{1 - \frac{R}{|z_0 - z_c|}} \frac{R^{p+1}}{|z_0 - z_c|^{p+1}} \end{aligned}$$



Fehler der Multipolexpansion

Sei $\rho = \frac{|z_0 - z_c|}{R}$. Dann lässt sich E_M^p abschätzen als

$$E_M^p \leq \frac{A}{\rho - 1} \left(\frac{1}{\rho} \right)^p$$

Bemerkung

Je größer ρ , desto kleiner ist die Fehlerschranke. Beobachte, dass für den Fall $\rho \geq 2 \Leftrightarrow |z_0 - z_c| \geq 2R$:

$$E_M^p \leq A \left(\frac{1}{2} \right)^p.$$

Damit kann man für eine vorher festgelegte Genauigkeit ε die Anzahl p der zu evaluierenden Momente bestimmen.

Translationsoperatoren

Während des Algorithmus werden mehrere Expansionspunkte benötigt. Anstatt alle Momente für einen neuen Expansionspunkt $z_{c'}$ wieder neu zu berechnen, kann man die alten Momente von z_c „verschieben“.

Satz (Moment-to-Moment-Translation, M2M)

Es seien die Punkte z_1, \dots, z_m mit Ladungen $q(z_1), \dots, q(z_m)$ gegeben. Weiterhin seien z_0, z_c und $z_{c'}$ derart, dass $|z_i - z_c| \ll |z_0 - z_c|$ und $|z_i - z_{c'}| \ll |z_0 - z_{c'}|$ für alle $i = 1, \dots, m$. Dann gilt

$$M_k(z_{c'}) = \sum_{l=0}^k I_{k-l}(z_c - z_{c'}) M_l(z_c). \quad (4)$$

Moment-to-Moment-Translation

Beweis.

$$\begin{aligned}M_k(z_{c'}) &= \sum_{i=0}^m l_k(z - z_{c'}) q(z_i) \\&= \sum_{i=0}^m l_k[(z - z_c) + (z_c - z_{c'})] q(z_i) \\&= \sum_{i=0}^m \sum_{l=0}^k l_l(z - z_c) l_{k-l}(z_c - z_{c'}) q(z_i) \\&= \sum_{l=0}^k l_{k-l}(z_c - z_{c'}) M_l(z_c)\end{aligned}$$

Dabei haben wir die Binomische Formel in der dritten Gleichung verwendet. □

Bemerkung

Durch die endliche Zahl der Summanden wird keine weitere Fehlerquelle eingeführt.

Lokale Expansion

Statt des Expansionspunktes z_c verschieben wir jetzt den Quellpunkt z_0 :

Satz (Lokale Expansion und Moment-to-Local-Translation)

Mit den Bedingungen der Multipolexpansion sei ein weiterer Punkt z_L nahe z_0 , d.h. $|z_0 - z_L| \ll |z_L - z_c|$ gegeben. Dann gilt die folgende lokale Expansion

$$\sum_{i=1}^m G(z_0, z_i) q(z_i) = \sum_{l=0}^{\infty} L_l(z_L) I_l(z_0 - z_L), \quad (5)$$

wobei die lokalen Expansionskoeffizienten $L_l(z_L)$ durch die folgende Moment-to-Local-Expansion (M2L) gegeben sind:

$$L_l(z_L) = (-1)^l \sum_{k=0}^{\infty} O_{l+k}(z_L - z_c) M_k(z_c). \quad (6)$$

Vorschau

Sind die lokalen Expansionskoeffizienten $L_l(z_L)$ einmal berechnet worden, ist die Gleichung (5)

$$\sum_{i=1}^m G(z_0, z_i) q(z_i) = \sum_{l=0}^{\infty} L_l(z_L) l_l(z_0 - z_L)$$

unabhängig von z_c . Wie bei der Moment-to-Moment-Translation lässt sich auch eine Local-to-Local-Translation ausdrücken. Ein weiterer Fall, wo bereits berechnete Terme wiederverwendet werden können. Die z_L werden auch wie die z_c später im Algorithmus Gitterpunkte darstellen.

Fehler der Moment-to-Local-Translation

Auch in (6) tritt eine endliche Summe auf. Es gilt:

Satz (Fehler der M2L Translation)

Für den Fehler E_L^p der Moment-to-Local-Expansion gilt:

$$\begin{aligned} E_L^p &:= \left| \sum_{i=1}^m G(z_0, z_i) q(z_i) - \sum_{l=0}^p L_l(z_L) l_l(z_0 - z_L) \right| \\ &= \left| \sum_{l=p+1}^{\infty} L_l(z_L) l_l(z_0 - z_L) \right| \leq \frac{A [4e(p + \rho)(\rho + 1) + \rho^2]}{\rho(\rho - 1)} \left(\frac{1}{\rho} \right)^{p+1}, \end{aligned}$$

für alle $p \geq \max\{2, \frac{2\rho}{\rho-1}\}$, wobei e die Eulersche Zahl ist und A und ρ wie bisher definiert sind.

Local-to-Local-Translation

Ähnlich der Moment-to-Moment-Translation führen wir die Local-to-Local-Translation ein:

Satz (Local-to-Local-Translation, L2L)

Es sei $z_{L'}$ ein Punkt nahe z_L , d.h. $|z_0 - z_{L'}| \ll |z_0 - z_c|$. Dann gilt für eine lokale Expansion mit p Termen:

$$\sum_{i=1}^m G(z_0, z_i) q(z_i) \approx \sum_{l=0}^p L_l(z_L) I_l(z_0 - z_L) = \sum_{l=0}^p L_l(z_{L'}) I_l(z_0 - z_{L'}),$$
$$\text{wobei } L_l(z_{L'}) = \sum_{s=0}^{p-l} I_s(z_{L'} - z_L) L_{l+s}(z_L) \quad (7)$$

Bemerkung

Wie bereits bei der M2M-Translation (4) werden bei der L2L-Translation (7) nur endliche viele Terme addiert, also keine weiteren Fehler eingeführt.

Local-to-Local-Translation

Beweis.

$$\begin{aligned}\sum_{l=0}^p L_l(z_L) l_l(z_0 - z_L) &= \sum_{l=0}^p L_l(z_L) l_l[(z_0 - z_{L'}) + (z_{L'} - z_L)] \\&= \sum_{0 \leq s \leq l \leq p} l_s(z_0 - z_{L'}) L_l(z_L) l_{l-s}(z_{L'} - z_L) \\&= \sum_{l=0}^p \sum_{s=l}^p l_l(z_0 - z_{L'}) L_s(z_L) l_{s-l}(z_{L'} - z_L) \\&= \sum_{l=0}^p l_l(z_0 - z_{L'}) \underbrace{\sum_{s=0}^{p-l} L_{l+s}(z_L) l_s(z_{L'} - z_L)}_{=L_l(z_{L'})}\end{aligned}$$



Zwischenzusammenfassung

Uns stehen nun folgende Werkzeuge zur Verfügung:

$$\text{Momente: } M_k(z_c) = \sum_{i=1}^m l_k(z_i - z_c) q(z_i)$$

$$\text{Multipolexpansion: } \sum_{i=1}^m G(z_0, z_i) q(z_i) \approx \sum_{k=0}^p O_k(z_0 - z_c) M_k(z_c)$$

$$\text{M2M-Translation: } M_k(z'_c) = \sum_{l=0}^k l_{k-l}(z_c - z'_c) M_l(z_c)$$

$$\text{M2L-Translation: } L_l(z_L) \approx (-1)^l \sum_{k=0}^p O_{l+k}(z_L - z_c) M_k(z_c)$$

$$\text{Lokale Expansion: } \sum_{i=1}^m G(z_0, z_i) q(z_i) \approx \sum_{l=0}^p L_l(z_L) l_l(z_0 - z_L)$$

$$\text{L2L-Translation: } L_l(z_{L'}) = \sum_{s=0}^{p-l} l_s(z_{L'} - z_L) L_{l+s}(z_L)$$

Der Fast Multipole-Algorithmus gliedert sich in mehrere Schritte:

- ① Erstellen einer Quad-Tree-Struktur.
- ② *Upward pass.*
- ③ *Downward pass.*
- ④ Berechnung der Potentiale.

Erstellen der Quad-Tree-Struktur

- 1 Lege alle Punkte in ein Quadrat. Dies bildet eine *Level 0 Zelle*.
- 2 Zerlege das Quadrat in Level 0 in vier Zellen (Quadrate) von Level 1.
- 3 Lege eine Zahl $maxl$, wie viele Punkte sich maximal innerhalb einer Zelle des Quad-Trees befinden dürfen, fest.
- 4 Für eine Zelle von Level l mache folgendes:
Wenn sie mehr als $maxl$ Punkte enthält, zerlege sie in vier *Tochterzellen* von Level $l + 1$. Sie ist jetzt eine *Vaterzelle*.
Sonst bildet sie ein *Blatt* des Quad-Trees und wird nicht weiter zerlegt.
- 5 Fahre mit obigem Schritt fort, bis keine Zelle mehr in Quadrate zerlegt wird.

Erstellen der Quad-Tree-Struktur

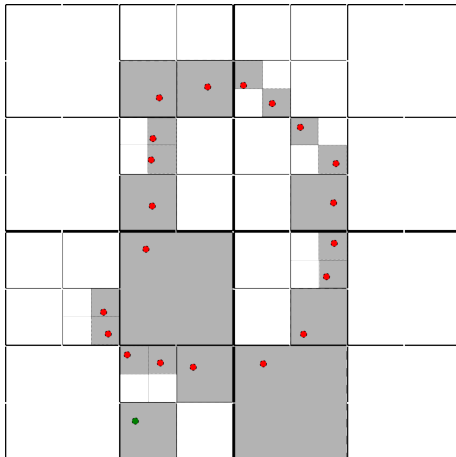


Abbildung 1 : Quad-Tree der geladenen Punkte (rot), eines Quellpunktes (grün) und Blätter (grau)

Berechnung aller Momente aller Zellenzentren von Level ≥ 2 mit p Termen, beginnend bei den Blättern:

- Handelt es sich bei der Zelle um ein Blatt, berechne das Moment der Zelle mittels der Gleichung (3) für alle geladenen Punkte innerhalb des Blattes, dabei ist z_c das Zentrum der Zelle.
- Handelt es sich um eine Vaterzelle, berechne ihr Moment mittels der Summation der M2M-Translationen (4) der Zentren ihrer Tochterzellen, dabei ist $z_{c'}$ das Zentrum der Vaterzelle und z_c das Zentrum einer Tochterzelle.

Upward pass

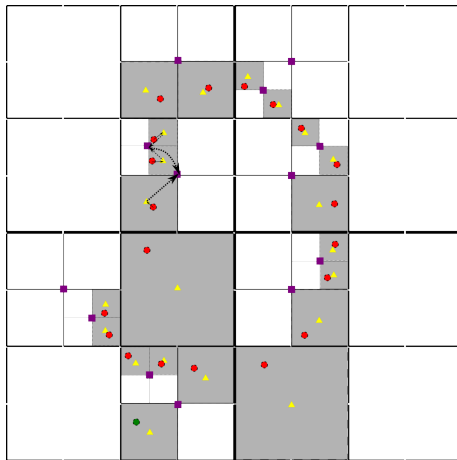


Abbildung 2 : Beispielhafter Upward pass von einer Blattzelle.
violett: Zentren von Vaterzellen, gelb: Zentren von Blättern,
→: Moment direkt berechnet, --→: M2M-Translation

Hierfür benötigen wir noch etwas mehr Vokabular:

Definition

- Zwei Zellen heißen *benachbart in Level l* , wenn sie mindestens eine gemeinsame Ecke haben.
- Zwei Zellen heißen *gut separiert in Level l* , wenn sie auf Level l *nicht benachbart sind*, aber ihre Vaterzellen in Level $l - 1$ *benachbart* sind.
- Bezeichne die Menge aller gut separierten Zellen einer Zelle C in Level l als *Interaktionsliste* von C .
- Eine Zelle ist eine *Fernzelle* von C , wenn ihre jeweiligen Vaterzellen nicht benachbart sind. Dabei sind die größtmöglichen Vaterzellen die von Level 2.

Downward pass

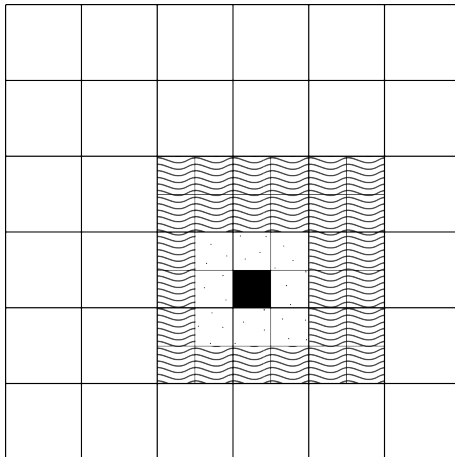


Abbildung 3 : schwarz: Zelle C, gepunktet: ihre benachbarten Zellen, gewellt: ihre Interaktionsliste, weiß: Fernzellen von C

Downward pass

Berechnung aller lokalen Expansionskoeffizienten aller Zellen startend bei Level 2 und die Baumstruktur nach unten zu allen Blättern folgend.

- ❶ Der lokale Expansionskoeffizient einer Zelle C ist die Summe
 - ❶ der Beiträge der Zellen von der Interaktionsliste von C und
 - ❷ von allen Fernzellen.
- ❷ 1.1 benutzt M2L-Translation (6), wobei die Momente die der Zellen der Interaktionsliste sind.
- ❸ 1.2 benutzt L2L-Translation (7) um den lokalen Expansionspunkt vom Zentrum der Vaterzelle von C zum Zentrum von C zu verschieben.
- ❹ Auf Level 2 wird für den lokalen Expansionskoeffizienten M2L-Translation verwendet. Dabei werden die Beiträge der in Level 2 nicht benachbarten Zellen aufsummiert.

Downward pass

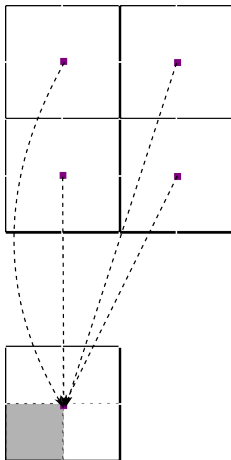


Abbildung 4 : Downward Pass bei Level 2. $--\rightarrow$: M2L-Translation

Downward pass

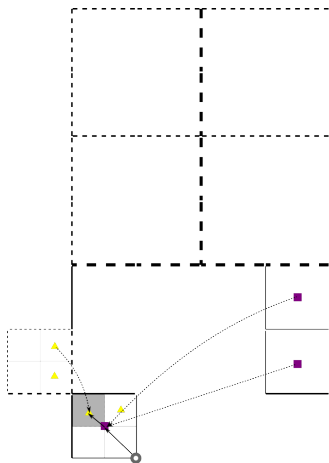


Abbildung 5 : Downward Pass bei Leveln 3 und 4. $--\rightarrow$: M2L-Translation, \rightarrow : L2L-Translation, Kreis: Zellzentrum Level 2, Quadrat: Zellzentrum Level 3, Dreieck: Zellzentrum Level 4

Berechnung der Potentiale

Für die Punkte an denen das Potential berechnet werden soll, erfolgt nun die Berechnung dessen.

Sei z_0 in Blatt C . Dann berechnen wir

$$\Phi(z_0) = \Phi_{\text{nah}}(z_0) + \Phi_{\text{fern}}(z_0)$$

$$\sum_{i=1}^m G(z_0, z_i)q(z_i) = \underbrace{\sum_{z_i \text{ nahe } z_0} G(z_0, z_i)q(z_i)}_{\text{Nahwirkung}} + \underbrace{\sum_{z_i \text{ fern } z_0} G(z_0, z_i)q(z_i)}_{\text{Fernwirkung}},$$

wobei wir für die z_i , die sich in C oder einen seiner acht Nachbarzellen befinden, die *Nahwirkung* mit *direkter* Summation auswerten.

Hingegen verwenden wir für die Fernwirkung, also Beiträge aus der Interaktionsliste von C und fernen Zellen, die Lokalexpansion der Zelle C , also (5), wobei z_L das Zentrum von C ist.

Zurück zur am Anfang gestellten Frage. Sind wir mit dem FMM-Algorithmus wirklich schneller?

Satz (Laufzeit des FMM-Algorithmus)

Sei N die Anzahl der geladenen Teilchen und N die Anzahl der Punkte deren Potentiale, verursacht durch die geladenen Teilchen, berechnet werden sollen. Sei p die Anzahl der Terme die für die Multipol- und Lokalexpansionen verwendet werden und $maxl$ die maximale Anzahl von geladenen Teilchen in einem Blatt des Quad-Trees. Dann ist die Berechnung aller Potentiale mit dem hier vorgestellten Fast-Multipole-Method-Algorithmus in Laufzeit $\mathcal{O}(N)$ möglich.

Beweis.

- N_B = Anzahl der Blätter im Quad-Tree $\approx N/\max l = \mathcal{O}(N)$
- N_Z = Anzahl der Zellen im Quad-Tree $\approx N_B \cdot (1 + \frac{1}{4} + \frac{1}{4^2} + \dots) \leq N_B \cdot \frac{4}{3} = \mathcal{O}(N)$
- Anzahl benachbarter Zellen = 9; Anzahl der Zellen in der Interaktionsliste = 27 (2D)
- Anzahl Operationen, um Multipolmomente zu berechnen $= p \cdot \max l \cdot N_B = \mathcal{O}(N)$
- Anzahl Operationen im Upward pass $= N_Z \cdot 4 \cdot p^2 = \mathcal{O}(N)$
- Anzahl Operationen im Downward pass $= N_Z \cdot [p^2(L2L) + 27 \cdot p^2(M2L)] = \mathcal{O}(N)$
- Anzahl Operationen der Lokalexpansionen $= N \cdot p = \mathcal{O}(N)$
- Anzahl Operationen der direkten Berechnungen der Potentiale der Nahwirkung $= N \cdot 9 \cdot \max l = \mathcal{O}(N)$

Alle Abschätzungen haben höchstens Laufzeit $\mathcal{O}(N)$, damit ist die Gesamtlaufzeit $\mathcal{O}(N)$. □

- [1] V. Rohklin L. Greengard.

A fast algorithm for particle simulations.

Journal of Computational Physics, 73:325–348, 1987.

- [2] Yijun Liu.

Fast Multipole Boundary Element Method.

Cambridge University Press, 2014.